

II-1 風洞水槽を利用して海岸波浪シミュレーター試作について

京都大学防災研究所 正会員 土屋 義人

1. 緒言 海岸工学上の諸問題の発明において、海岸波浪をシミュレートした不規則波の発生とそれによる実験的研究の遂行が手わざで重要なことは周知のとおりである。いまさら強調すべきではないが、不規則波の発生方法において種々な困難な問題がある。いまだ適切な発生様式試作は成功していないようである。最近になって、不規則振動板の運動による波動の発生から、任意の不規則波を発生させる方式による不規則波発生様式が諸外国およびわが国においても開発されてきたが、これで述べるものはこれらと全く相違して、ドーナツ型の風洞水槽を利用して風波を発生せしめ、これと実験水槽へ導入する方式である。吹送距離が十分長い場合の風波の発達やその内部構造の発明も可能である。ここでは、この装置の概要と、その特性について説明するつもりである。

2. 海岸波浪シミュレーターの概要 図-1に示すように、総延長約68mのドーナツ型風洞水槽部を主体とし、これに送風機(30HP)、波向制御装置、造波機および直線水槽部が付属するものである。本装置はつぎのようである。

ドーナツ型風洞水槽部の断面は幅2.5m、高さ1.5mで、一部ガラス張りの鋼製水槽である。これに幅4.5m、深さ0.65m。

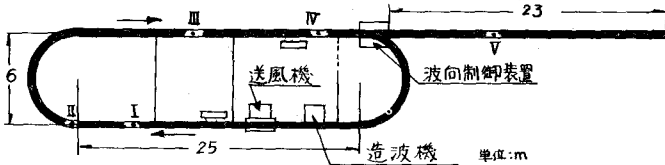


図-1 シミュレーター概略図

ここで発生した不規則波による越波、波圧、波力、変形など各種の実験が行なえるようになっている。まず、波向制御装置を用いて送風機によってドーナツ型風洞水槽部に送風し、これと同流させて、所定の水深において風波は時間とともに発達する。この風洞内で所要の風波がえられたときに、波向制御装置を操作して、不規則波を直線水槽部に誘導しようとするものである。現在のことごろ、本装置に直結のスペクトルアナライザーがさへりて、その記録をみて直ちに波向制御装置を操作することはできないが、適当な条件のもとにあらかじめ各種の風波の特性を調べておけば、所要の不規則波を発生させることはできる。

一方、ドーナツ型風洞部はこれまでの風洞と相違して(今更に1基試作)といいか、吹送時間は任意にとれば、波高および波長の手わざで大きい風波を発生することができるわけである。いいかえれば無限大の吹送距離に対応した風波を発生・発達せしめることが可能である。さらに、造波機によつて周期0~5secまでの規則波を発生せしめることができるので、これに風波を加えたいわゆる Long crested random waves を発生せしめ、波の相互干渉や風波の乱れ発生の特性などに関する実験も実施できる。現在計測装置としては、風洞部にとり付けに数個の波高計と波圧計および超音波流速計などによつて若干の実験を実施しているが、将来制御関係の装置を付属し、適切に不規則波を誘導できようにしていきたいと考えている。

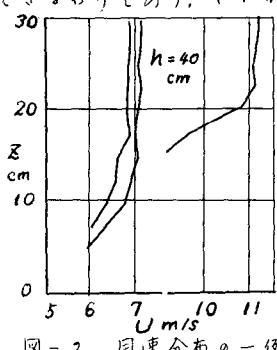
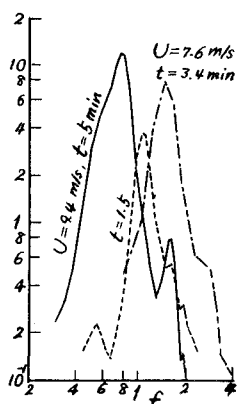


図-2 風速分布の一例

3. 本装置の特性と若干の実験結果 ここでは、図-1に示したように風洞部に St. I, II, III, IV および直線水槽部に St. V の合計 5 部と St. III に圧力計をとりつけて風波の特性を計測し、風速は熱線型風速計によつて、St. III において風速分布を測定した結果の 2, 3 について述べたい。

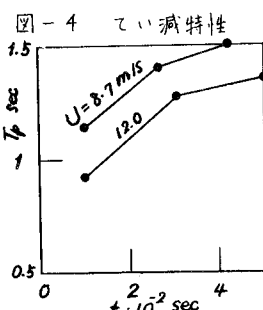
まず、図-2 は風速分布の一例であり、また図-3 は吹送時間 $t = 3.4 \text{ min}$ (St. IV) で、一連の wave train について St. I, II, III, および St. IV におけるスペクトル特性を比較したものである。これから、風洞円弧部の影響はスペクトル特性としてはあまり顕著に現われないようである。ここで取扱う風波は非定常状態におけるものであらから、そのスペクトル特性とくに高周波側での特性が問題となると考えられることで、えられたスペクトルについて検討した結果の一例が図-4 である。これからわからることは、この実験の範囲内では定常状態の風波



とあまり相違しないようであるが、吹送時間が長くなると風波は発達して非線形性の波となることがわかる。

図-5 はスペクトル図からえられた T_p の時間的変化を示したものの一例である。

これらからドーナツ型風洞水槽部で発生・発達せしめた風波の特性は、実験の範囲内では実用上十分平衡状態の風波のそれに近似できることがわかるが、吹送時間によつては非線形性の風波となり、波長も約 3m 程度とするともなる。しかしながら、drift current が大きめで大きいようである。



で、これが
は及ぼす影
響について
は、さらに
検討すべき
である。

図-5 T_p の時間的変化 つまに、

風洞内で発生した風波を直線水槽に誘

導して、不規則波を発生せしめた場合

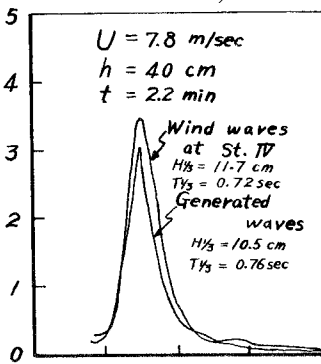


図-6 発生波の特性(1)

の波の特性について述べる。図-6 および 7 はいずれも 7.6 ~ 7.8 m/sec の低風速で発生させた風波を

St. IV および St. V について記録させたもののスペクトル図である。このうち St. V は直線水槽部であるドーナツ型風洞部端部より約 7m のところである。これらからわかるように、直線水槽部に風波を誘導すると、水面の摩擦などによつて若干波高が小さくなるが、高周波成分まで保存された不規則波となることができる。今後さらに本装置の特性を明らかにして、不規則波の発生様と有用なものにすることともに、風波の発達および内部構造の解明につとめたい。

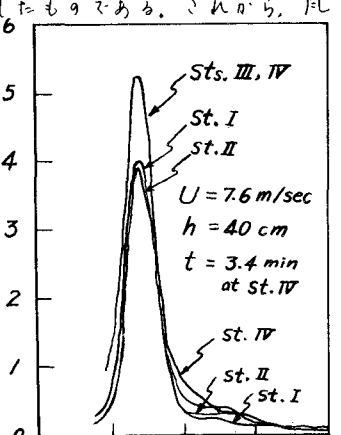


図-3 風波のスペクトル図

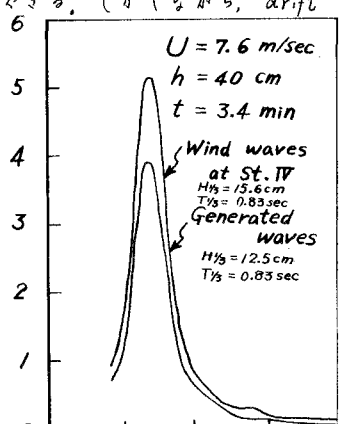


図-7 発生波の特性(2)